

Provide a method for Scheduling of dependent and periodic tasks in real-time mixed-criticality systems with multi-core architecture with the aim of preemption reduction

Received: 12 October 2021
Accepted: 13 November 2021
Article type: Research Article
PP: 53-67

DOI:
[10.22034/pitc.2021.210851.1091](https://doi.org/10.22034/pitc.2021.210851.1091)

Fatemeh Azad

Faculty of Electrical and Computer
Engineering, Qom University of Technology,
Qom, Iran

azad.f@qut.ac.ir

Morteza Mohajjel kafshdooz

Faculty of computer engineering group, Qom
University of Technology

mohajjel@qut.ac.ir

AbdolReza Rasouli Kenari

Faculty of computer engineering group, Qom
University of Technology

rasouli@qut.ac.ir

Abstract

Today, due to the tendency to integrate different parts of a real-time system with different criticality levels, the concept of mixed-criticality systems has been considered. Applications of these systems include UAVs and smart police devices, in which different tasks of different importance are integrated together on a common platform. In order to provide the processing power required by mixed-criticality systems, multi-core architectures are a good option. One of the main challenges in multi-core architectures is task scheduling. Many researches in the field of task scheduling in mixed-criticality systems with multi-core architecture are assuming tasks are independent, but in reality, we are faced with many tasks that have a data dependency between them. Another aspect of task scheduling in lesser-known multi-core mixed-criticality systems is the reduction and control of the number of preemptions, which reduces time overhead during task execution.

In this research, we schedule dependent tasks in a multi-core architecture in such a way that, firstly, the proposed schedule is correct and satisfies the limitations of the system, and secondly, it reduces the number of preemptions when assigning tasks to cores. Finally, the proposed scheduling algorithm is tested on a sample UAV and random tasks and then the scheduling rate and number of preemptions are compared. The results show that the proposed algorithm reduces the number of preemptions by about 96% without significantly changing the scalability rate.

Keywords: real-time system mixed-criticality system multi-core dependent tasks scheduling preemption reduction

ارائه روشی برای زمان‌بندی وظایف متناوب و وابسته در سامانه‌های بی‌درنگ بحرانی - مختلط چندهسته‌ای با هدف کاهش تعداد قبضه‌ها

چکیده

امروزه به علت تمایل به یکپارچه‌سازی بخش‌های مختلف سامانه‌های بی‌درنگ با بحرانیتهای متفاوت در صنعت، سامانه‌های بحرانی-مختلط مورد توجه قرار گرفته‌اند. از جمله کاربردهای این سامانه‌ها می‌توان به پهپادها و ابزارهای پلیس هوشمند اشاره کرد که در آنها، وظایف مختلف با میزان اهمیت متفاوت در یک پلتفرم مشترک جمع‌آوری شده‌اند. به منظور فراهم کردن توان پردازشی مورد نیاز سامانه‌های بحرانی-مختلط، معماری‌های چندهسته‌ای گزینه مناسبی به شمار می‌آیند. یکی از چالش‌های اصلی در معماری‌های چند هسته‌ای، زمان‌بندی وظایف است. بسیاری از پژوهش‌های انجام شده در حوزه زمان‌بندی وظایف در سامانه‌های بحرانی-مختلط چندهسته‌ای به زمان‌بندی وظایف مستقل پرداخته‌اند. ولی در واقعیت با بسیاری از وظایف روبرو هستیم که وابستگی داده‌ای بین آنها وجود دارد و تا زمانی که اجرای یک وظیفه به اتمام نرسد امکان شروع وظیفه وابسته به آن وجود ندارد. جنبه دیگر از زمان‌بندی وظایف در سامانه‌های بحرانی-مختلط که کمتر به آن پرداخته شده کاهش تعداد قبضه‌های وظایف است که موجب کاهش سربار زمانی در حین اجرای وظایف می‌شود. در این پژوهش به زمان‌بندی وظایف وابسته و متناوب در سامانه‌های بحرانی-مختلط چندهسته‌ای خواهیم پرداخت به گونه‌ای که اولاً زمان‌بندی ارائه شده محدودیت‌های سامانه را ارضا کند و ثانیاً باعث کاهش تعداد قبضه‌ها در هنگام تخصیص وظایف باشد. در پایان، الگوریتم زمان‌بندی ارائه شده روی یک پهپاد نمونه و همچنین سامانه‌هایی با وظایف تصادفی آزمایش می‌گردد و نرخ زمان‌بندیپذیری و تعداد قبضه‌ها مقایسه می‌گردند. نتایج بدست آمده نشان می‌دهد که الگوریتم ارائه شده بدون آن که تغییر قابل توجهی در کاهش نرخ زمان‌بندیپذیری داشته باشد تعداد قبضه‌ها را تا حدود ۹۶ درصد کاهش می‌دهد.

کلیدواژه‌ها: سامانه بی‌درنگ سامانه بحرانی-مختلط چندهسته‌ای زمان‌بندی وظایف وابسته کاهش قبضه‌ها

دریافت: ۱۴۰۰/۰۷/۲۰

پذیرش: ۱۴۰۰/۰۸/۲۲

نوع مقاله: پژوهشی

صص: ۵۳-۶۷

شناسه دیجیتال (doi):

[10.22034/pitc.2021.210851.1091](https://doi.org/10.22034/pitc.2021.210851.1091)

فاطمه آزاد

دانشجوی کارشناسی ارشد مهندسی
کامپیوتر، دانشکده برق و کامپیوتر -
دانشگاه صنعتی قم - قم - ایران

azad.f@qut.ac.ir

مرتضی محجل کفشدوز

استادیار، دانشکده برق و کامپیوتر -
دانشگاه صنعتی قم - قم - ایران
(نویسنده مسئول)

mohajjel@qut.ac.ir

عبدالرضا رسولی کناری

استادیار، دانشکده برق و کامپیوتر -
دانشگاه صنعتی قم - قم - ایران
rasouli@qut.ac.ir

۱- مقدمه

پیشرفت تکنولوژی و نیاز صنعت به ویژه سامانه‌های نهفته به انجام وظایف بیشتر و محاسبات پیچیده‌تر، که در عین حال اجرای وظایف در آن‌ها با حداقل تاخیر و در زمان مقرر صورت گیرد، منجر به پررنگ‌تر شدن نقش سامانه‌های بی‌درنگ شده است. ویژگی اصلی این سامانه‌ها این است که وظایف به صورت پیش‌بینی‌پذیر و در مهلت معین خود اجرا می‌شوند.

بسیاری از سامانه‌های بی‌درنگ نهفته از بخش‌های مختلف تشکیل شده‌اند که این بخش‌ها بحرانیت مختلفی دارند و بر روی سخت‌افزار مجزایی اجرا می‌شوند. امروزه به دلایل مختلف تمایل به یکپارچه‌سازی این سامانه‌ها زیاد شده است و مفهوم سامانه‌های بحرانی-مختلط^۱ را به وجود آورده است [۱]. به طوری که در یک پلتفرم سخت‌افزاری مشترک بخش‌های مختلف سامانه با بحرانیت‌های مختلف جمع شده‌اند. بحرانیت به مقدار تضمین در برابر خرابی که باید به یک بخش از سامانه داده شود گفته می‌شود. وظایف دارای سطح بحرانیت بالاتر به تضمین بیشتری برای اجرای درست خود نیاز دارند [۲]. سامانه‌های بحرانی-مختلط کاربردهای کاربردهای گسترده‌ای دارند. یکی از کاربردهای سامانه‌های بی‌درنگ بحرانی-مختلط در پهنادهای نظامی و ابزارهای پلیس هوشمند است. این پهنادهای وظایف مختلفی از جمله مراقبت هوایی و شناسایی، رصد اهداف و زاویه حرکت و ارتباطات آن، کنترل ترافیک، تشخیص تخلف الکترونیک، کنترل مرزها و اطراف آن جهت مبارزه با قاچاقچیان و عکسبرداری برای بررسی‌های جغرافیایی انجام می‌دهند که ممکن است برخی از این وظایف دارای سطح بحرانیت بالاتری باشند و نیاز به تضمین بیشتری برای اجرای درست خود داشته باشند.

در سامانه‌های بحرانی-مختلط معمولاً دو سطح بحرانیت در نظر گرفته می‌شود. در سامانه‌هایی با دو سطح بحرانیت، بدترین زمان اجرا (WCET)^۲ برای وظایف با سطح بحرانیت بالاتر هم توسط صادرکننده گواهی^۳ و هم توسط طراح سامانه محاسبه و ارزیابی می‌شود در حالی که برای وظایف با سطح بحرانیت کمتر تنها توسط طراح سامانه محاسبه می‌گردد. صادرکننده گواهی شرایط محافظه کارانه‌تری را برای ارزیابی WCET مدنظر قرار می‌دهد به همین دلیل اغلب مقدار WCET ارزیابی شده توسط صادرکننده گواهی از زمان اجرای محاسبه شده توسط طراح سامانه بیشتر است. در این سامانه‌ها هنگامی که یک

وظیفه نتواند در سهمیه زمانی با بحرانیت کمتر خود (یعنی WCET ارزیابی شده توسط طراح سامانه) به صورت کامل اجرا شود سامانه به حالت با بحرانیت بیشتر تغییر حالت می‌دهد و وظایف بحرانی در سهمیه زمانی با بحرانیت بیشتر خود (یعنی WCET ارزیابی شده توسط صادرکننده گواهی) اجرا خواهند شد. در واقع در این حالت سامانه از یک حالت خوش‌بینانه به یک حالت بدبینانه و محافظه‌کارانه تغییر حالت می‌دهد.

دو چالش مهم که این سامانه‌ها با آن درگیر هستند شامل تضمین درستی و کارآمدی آنهاست [۳]. درستی در این سامانه‌ها به این معناست که وظایف با توجه به سطح بحرانیت خود، ضمانت کافی برای اجرا در مهلت معین خود داشته باشند (هرچقدر سطح بحرانیت وظیفه بالاتر باشد نیاز وظیفه برای رعایت مهلت خود بیشتر می‌شود). کارآمدی در این سامانه‌ها بدین معناست که از منابع سخت‌افزاری موجود به صورت کارا در راستای برقراری شرط درستی سامانه استفاده شود. تجمیع این دو مفهوم منجر به ارائه یک زمان‌بندی صحیح برای مجموعه وظایف در این سامانه‌ها می‌گردد. زمان‌بندی وظایف تعیین می‌کند که وظایف با چه اولویتی، در چه زمانی و در پردازنده‌های چند هسته‌ای، در کدام هسته اجرا شوند.

به منظور زمان‌بندی وظایف در سامانه‌های بحرانی-مختلط بسته به این که سامانه دارای معماری تک‌هسته‌ای یا چندهسته‌ای باشد از رویکردهای مختلفی استفاده می‌شود. استفاده از معماری چندهسته‌ای این فرصت را ایجاد می‌کند که وظایف بتوانند به صورت موازی اجرا شوند و در نتیجه بهره‌وری سامانه بالا برود. البته در کنار این مزیت، چالش افزایش پیچیدگی را هم در زمان‌بند خواهیم داشت چرا که در هنگام زمان‌بندی باید در مورد چگونگی تخصیص وظایف به هسته‌های مختلف نیز تصمیم‌گیری شود.

زمان‌بندی وظایف در سامانه‌های بحرانی-مختلط با معماری چندهسته‌ای در بسیاری از پژوهش‌ها بررسی شده است که در بسیاری از آن‌ها ارائه راهکار را با فرض مستقل بودن وظایف انجام داده‌اند. با این حال در واقعیت با بسیاری از سامانه‌ها روبرو هستیم که وابستگی داده بین وظایف مختلف وجود دارد به طوری که برخی از وظایف، وابسته به وظایف پیش‌نیاز هستند و تا زمانی که پیش‌نیازهای آن‌ها اجرایشان کامل نشود قادر به اجرا نخواهند بود. به طور معمول برای مدل‌سازی وظایف دارای وابستگی از گراف جهت‌دار بدون دور (DAG)^۴

^۱ Mixed-Criticality Systems^۲ Worst Case Execution Time^۳ Certification Authority^۴ Directed Acyclic Graph

- اعمال هزینه قبضه و ارتباط بین وظایف هنگام زمان‌بندی وظایف.
 - آزمایش الگوریتم زمان‌بندی ارائه شده بر روی نرم‌افزار یک پهباد نمونه و سامانه‌هایی با وظایف تصادفی و مقایسه نرخ زمان‌بندی‌پذیری و تعداد قبضه‌ها.
- در ادامه این مقاله، در بخش ۲ کارهای گذشته در این حوزه بررسی می‌شوند. در بخش ۳ مساله زمان‌بندی فرموله و حل می‌شود. در بخش ۴ برای یک پهباد نمونه مساله زمان‌بندی بررسی می‌شود. در بخش ۵ زمان‌بندی روی مجموعه سامانه‌هایی با وظایف تصادفی آزمایش و تحلیل می‌گردد و در بخش ۶ نتیجه مقاله ارائه می‌شود.

۲- مرور کارهای گذشته

در این بخش، پژوهش‌های مرتبط با موضوع خود یعنی زمان‌بندی وظایف وابسته در سامانه‌های بحرانی-مختلط مورد بررسی قرار می‌گیرد. در این پژوهش‌ها، برای نمایش وظایف وابسته از DAG استفاده شده است که مجموعه وظایف سامانه به صورت گره‌هایی در یک گراف بدون دور نمایش داده می‌شوند و یال‌های جهت‌دار در این گراف نشان‌دهنده جهت وابستگی بین وظایف وابسته است. وقتی یک وظیفه به وظیفه دیگری وابسته است به این معنی است که تا زمانی که وظیفه پیش‌نیاز اجرایش تکمیل نشده است وظیفه وابسته نمی‌تواند اجرای خود را شروع کند. با توجه به تعریف سامانه‌های بحرانی-مختلط با ۲ سطح بحرانیّت، هر گره در این گراف، نشان‌دهنده یک وظیفه با سطح بحرانیّت بالا یا با سطح بحرانیّت پایین خواهد بود.

در [۵] و [۶] زمان‌بندی وظایف وابسته در سامانه‌های بحرانی-مختلط در یک معماری تک پردازنده‌ای مورد بررسی قرار گرفته است. یک ترتیب توپولوژیک از گره‌ها ساخته می‌شود و گره‌هایی که پیش‌نیازی ندارند یا پیش‌نیاز آنها قبلاً آماده شده‌اند به ترتیب وارد یک لیست از گره‌های آماده می‌شوند. در این ترتیب توپولوژیک همیشه وظایف با سطح بحرانیّت بالا اولویت بالاتری نسبت به وظایف با سطح بحرانیّت پایین دارند. الگوریتم ارائه شده در این مقاله‌ها بهینه است ولی فقط برای حالت تک پردازنده‌ای قابل استفاده است که امکان موازی‌سازی وظایف را سلب می‌کند.

در [۷] زمان‌بندی وظایف وابسته در سامانه‌های بحرانی-مختلط در یک معماری چند پردازنده‌ای مورد بررسی قرار گرفته است و فرض شده است که کل وظایف DAG دارای مهلت یکسان و مشترک هستند. ابتدا جدول زمان‌بندی وظایف در حالت با بحرانیّت بالای سامانه را با اعمال روش LS^3 [۸] به صورت غیر قبضه‌ای روی گره‌های

استفاده می‌شود که هر گره در آن نشان‌دهنده یک وظیفه است و یال‌های جهت‌دار نشان‌دهنده جهت وابستگی وظایف هستند. برای آن که وظایف در هر گراف به صورت متناوب تکرار شوند از Multi-Periodic DAG استفاده می‌شود. در این پژوهش برای زمان‌بندی وظایف دارای وابستگی و متناوب در سامانه‌های بحرانی-مختلط چند هسته‌ای راهکاری ارائه می‌شود.

از آن جایی که بین وظایف وابستگی داده‌ای وجود دارد زمان‌بندی‌ای مطلوب است که هنگام تخصیص وظایف به هسته‌ها، هزینه ارتباط^۱ بین وظایف وابسته را در نظر بگیرد. به عنوان مثال زمانی که دو وظیفه وابسته روی یک هسته اجرا شوند هزینه ارتباط نسبت به حالتی که در هسته‌های مختلف اجرا شوند کمتر است. در پژوهش‌های انجام شده در این حوزه به این هزینه کمتر توجه کرده‌اند. مساله دیگری که در این پژوهش حائز اهمیت است کاهش تعداد قبضه‌های بین وظایف است به طوری که یک وظیفه تا جایی که امکان دارد به صورت پیوسته روی یک هسته اجرا شود و بین اجرای آن گسستگی ایجاد نشود. وجود قبضه باعث می‌شود تا هسته‌ها در هر لحظه به وظیفه با بالاترین اولویت تخصیص پیدا کنند ولی با این حال قبضه‌های آزادانه و بدون محدودیت، موجب تحمیل هزینه بالایی به سامانه می‌شود. هنگامی که یک وظیفه در حال اجرا به نفع یک وظیفه دیگر متوقف می‌شود فرایندی طی می‌شود که خود زمان‌بر است و این سربار زمانی می‌بایست در الگوریتم زمان‌بندی لحاظ شود [۴]. در این فرایند ابتدا وظیفه کنونی متوقف شده و در صف وظایف آماده اجرا برای آینده وارد می‌شود، سپس وظیفه با اولویت بالاتر اجرا را به دست می‌گیرد. بنابراین کاهش تعداد قبضه‌ها به منظور داشتن یک الگوریتم زمان‌بندی مناسب حائز اهمیت است. علی‌رغم اهمیت بالای این موضوع در کاهش سربار سامانه، پژوهش‌های انجام شده در حوزه زمان‌بندی وظایف وابسته در سامانه‌های بحرانی-مختلط به این مساله کمتر توجه داشته‌اند و راهکارهای ارائه شده توسط آن‌ها شامل قبضه‌های آزادانه و بدون محدودیت است.

به طور خلاصه آنچه که در این پژوهش انجام خواهد شد شامل موارد زیر است:

- ارائه یک الگوریتم زمان‌بندی برای مجموعه وظایف وابسته و متناوب در یک سامانه بحرانی-مختلط با دو سطح بحرانیّت روی یک معماری چند هسته‌ای به طوری که اولاً زمان‌بندی ارائه شده صحیح باشد و ثانیاً در جهت کاهش تعداد قبضه‌ها باشد.

¹ Communication Cost

² preemption

³ List Scheduling

و به منظور داشتن یک زمان بندی موفق از تعداد پردازنده های بالایی استفاده خواهد کرد. هم چنین در وظایف سبک امکان موازی سازی job ها را سلب می کند.

در [۱۱] از روشی تحت عنوان شبه فدرال استفاده می شود. هدف اصلی که در این مقاله دنبال می شود این است که از هدررفت پردازنده در روش فدرال جلوگیری کند. در این مقاله هم سطوح بحرانی برای job های یک وظیفه تعریف شده است و وابستگی بین job های یک وظیفه در قالب یک DAG نمایش داده می شود. این روش هم همانند روش فدرال، به دلیل اولویت تام دادن به job های با بحرانیّت بالا، امکان زمان بندی پذیری وظایف با سطح بحرانیّت پایین را کاهش می دهد. در [۱۲] و [۱۳] نیز از روش فدرال برای تخصیص هسته به DAG های چندگانه با دوره های تناوب متفاوت استفاده می شود. در مدل ارائه شده توسط آن ها، هر DAG معادل یک وظیفه با سطح بحرانیّت بالا یا سطح بحرانیّت پایین در نظر گرفته می شود و گره های موجود در DAG، job های آن وظیفه هستند که بین آن ها وابستگی وجود دارد. بنابراین یک DAG و همه گره های موجود در آن همگی از یک سطح بحرانیّت خواهند بود و در واقع بین وظایف با سطوح بحرانیّت مختلف هیچ وابستگی ای وجود ندارد.

در [۱۴] از روش سراسری برای زمان بندی وظایف وابسته در سامانه های بحرانی-مختلط با معماری چند هسته ای استفاده شده است. در روش های سراسری وظایف برای اجرا در هسته های مختلف هیچ محدودیتی ندارند. در مدل ارائه شده توسط این مقاله هر سامانه بحرانی-مختلط توسط چندین DAG از وظایف نشان داده می شود که هر DAG برای خود یک دوره تناوب جداگانه دارد. هم چنین وابستگی وظایف با سطح بحرانیّت بالا به وظایف با سطح بحرانیّت پایین مجاز نمی باشد. جداول زمان بندی در حالت سامانه با بحرانیّت بالا و بحرانیّت پایین به صورت استاتیک ساخته می شود. ابتدا جدول زمان بندی در حالت با بحرانیّت بالای سامانه با روش G-LLF^۴ و به صورت ALAP^۵ ساخته می شود. سپس جدول زمان بندی در حالت با بحرانیّت پایین سامانه را با روش G-LLF^۴ و به صورت ASAP^۶ می سازد. هم چنین برای این که انتقال حالت از با بحرانیّت کمتر به حالت با بحرانیّت بالاتر امن باشد و اطمینان حاصل شود که وظایف مهلت های خود را رعایت می کنند یک شرط انتقال امن تعریف شده است. روش ارائه شده در این مقاله از کمینه تعداد هسته استفاده می کند و امکان زمان بندی پذیری نسبت به روش های قبلی در آن بالاتر است. در این

با سطح بحرانیّت بالا می سازد و ترتیب آن ها را ذخیره می کند. سپس جدول زمان بندی در حالت با بحرانیّت پایین سامانه را با اعمال LS به صورت قبضه ای و با استفاده از ترتیب به دست آمده، روی تمامی گره ها می سازد. روش استفاده شده در این مقاله بهینه نیست. هم چنین اولویت تام وظایف با سطح بحرانیّت بالا نسبت به وظایف با سطح بحرانیّت پایین باعث می شود که در حالت سامانه با بحرانیّت پایین امکان زمان بندی پذیری وظایف با سطح بحرانیّت پایین کاهش یابد.

در [۹] با تعریف مفهومی با عنوان آخرین لحظه فعال سازی ایمن (LSAI^۱) درصدد برآمده است تا اولویت تام دادن وظایف با سطح بحرانیّت بالا نسبت به وظایف با سطح بحرانیّت پایین را حذف کند و مشکلی را که در زمان بندی قبلی موجب ایجاد محدودیت سختگیرانه در زمان بندی در حالت با بحرانیّت پایین می شد، برطرف سازد. LSAI ها در واقع زمان شروع وظایف با سطح بحرانیّت بالا در جدول زمان بندی با حالت بحرانیّت بالای سامانه هستند و تعیین کننده لحظاتی هستند که می بایست به وظایف با سطح بحرانیّت بالا اولویت بالاتری نسبت به وظایف با سطح بحرانیّت پایین داده شود. بنابراین به عنوان یک مهلت مجازی در هنگام زمان بندی در حالت با بحرانیّت پایین سامانه در نظر گرفته می شوند. در این مقاله، برای مجموعه ای از وظایف که در قالب DAG های چندگانه با مهلت ها یا دوره های تناوب متفاوت هستند راهکاری ارائه نشده است.

در [۱۰] زمان بندی DAG های چندگانه با دوره های تناوب متفاوت در یک سامانه بحرانی-مختلط با معماری چند پردازنده ای مورد بررسی قرار گرفته است. در این مقاله فرض شده است که هر DAG، یک وظیفه با دوره تناوب خاص خود است و گره های آن DAG، در واقع job های آن وظیفه هستند که بین آن ها وابستگی وجود دارد. همچنین سطح بحرانیّت به جای این که به وظایف اختصاص داده شود به job ها اختصاص داده شده است. برای تخصیص پردازنده به وظایف از رویکرد فدرال^۲ استفاده شده است که در آن وظایف بر اساس بهره برداری^۳ به وظایف سبک و سنگین تقسیم می شوند. برای یک وظیفه سبک، همه job های آن روی یک پردازنده و برای وظایف سنگین روی چندین پردازنده اجرا خواهند شد. در این مقاله همانند [۷]، به job های با سطح بحرانیّت بالا همواره اولویت بالاتری اختصاص می دهد که موجب کاهش امکان زمان بندی پذیری در حالت با بحرانیّت پایین سامانه می شود. روش فدرال از نظر استفاده از منابع، کارا نیست چرا که پردازنده ها به صورت اختصاصی به DAG ها اختصاص می یابند

^۴ Global-Least Laxity First

^۵ As Late As Possible

^۶ As Soon As Possible

^۱ Latest Safe Activation Instant

^۲ federated

^۳ utilization

انداختن استفاده می‌شود بنابراین وظایف با سطح بحرانیت Low در حالت با بحرانیت بالای سامانه متوقف می‌شوند [۱۶].

سامانه S به صورت $S = (\Pi, \Gamma)$ تعریف می‌شود. Π بیان‌گر معماری سامانه است و شامل m هسته همگن و یکسان است. Γ نیز بیان‌گر مجموعه‌ای از DAG های بحرانی-مختلط (MC-DAG) است که هر کدام از آن‌ها با G_i نمایش داده می‌شود. به ازای هر G_i که عضو مجموعه Γ است سه مشخصه خواهیم داشت:

- V_i مجموعه‌ای از گره‌های موجود در G_i است. هر گره یک وظیفه بحرانی-مختلط (MC-Task) است که با τ_j نشان داده می‌شود. زمان رهاسازی تمامی وظایف موجود در G_i یکسان و برابر صفر است.

- E_i مجموعه‌ای از یال‌های موجود در G_i است و زیرمجموعه‌ای از $V_i \times V_i$ است. هر یال عضو E_i یک وابستگی بین دو وظیفه موجود در G_i را نشان می‌دهد که جهت یال بیان‌گر جهت وابستگی است و به صورت دوتایی (τ_a, τ_b) نمایش داده می‌شود. به τ_a وظیفه پیشین و به τ_b وظیفه پسین گفته می‌شود. با استفاده از مجموعه E_i و به ازای هر وظیفه τ_j ، مجموعه $pred(\tau_j)$ (وظایف پیشین یا وظایف پیش‌نیاز τ_j) و مجموعه $succ(\tau_j)$ (وظایف پسین τ_j) استخراج می‌شوند. هر وظیفه τ_j تا زمانی که تمام وظایف عضو $pred(\tau_j)$ اجرایشان کامل نشود نمی‌تواند شروع به اجرا کند. هم‌چنین با توجه به استفاده از رویکرد دور انداختن، وظیفه دارای سطح بحرانیت $High$ نمی‌تواند به وظیفه با سطح بحرانیت Low وابسته باشد.

- T_i یک عدد طبیعی و نشان‌دهنده دوره تناوب G_i است. وظایف موجود در G_i ، در هر T_i واحد زمانی، بازتولید می‌شوند. چون دوره تناوب مربوط به هر MC-DAG می‌تواند مقداری متفاوت از دیگری باشد بنابراین سامانه S ، Multi-Periodic است. یک سامانه Multi-Periodic که زمان رهاسازی تمام وظایف آن یکسان است هنگامی زمان‌بندپذیر است که در یک Hyper-Period زمان‌بندپذیر باشد [۸]. بنابراین برای این که سامانه S زمان‌بندپذیر باشد باید در یک Hyper-Period زمان‌بندپذیر بودن آن آزمایش شود. Hyper-Period یک سامانه برابر با کوچکترین مضرب مشترک بین دوره تناوب وظایف آن سامانه است، بنابراین مقدار Hyper-Period برای S از رابطه $HP(S) = lcm_{G_i \in \Gamma} T_i$ حساب می‌شود.

به ازای هر MC-Task به نام τ_j که عضو مجموعه V_i است پنج

مشخصه خواهیم داشت:

روش هیچ کنترلی روی تعداد قبضه‌های وظایف نیست و بسیاری از قبضه‌ها غیرضروری هستند. هم‌چنین هزینه قبضه و هزینه ارتباط بین وظایف وابسته نیز در زمان‌بندی لحاظ نشده است.

در [۱۵] روش ارائه شده در [۱۴] برای یک سامانه بحرانی-مختلط با تعداد سطوح بحرانی دلخواه تعمیم داده شده است. برای ساخت جداول زمان‌بندی از سه روش G-LLF، G-EDF و G-EDZL^۱ استفاده می‌کند. از بالاترین حالت بحرانی شروع می‌کند و جدول زمان‌بندی در آن حالت بحرانی را با یکی از روش‌های مذکور و به صورت ALAP می‌سازد. ساخت جدول زمان‌بندی به این روش را تا یک حالت قبل از پایین‌ترین حالت بحرانی ادامه می‌دهد. برای پایین‌ترین حالت بحرانی جدول زمان‌بندی را با یکی از همان سه روش و به صورت ASAP می‌سازد. در این مقاله برخلاف سایر پژوهش‌های انجام شده در این حوزه، وابستگی وظایف با سطح بحرانیت بالاتر به وظایف با سطح بحرانیت پایین‌تر مجاز شمرده است ولی در هنگام زمان‌بندی فرض کرده است که چنین وظایفی بدون آن که نیاز به تکمیل اجرای پیش‌نیازهای خود داشته باشند می‌توانند اجرا شوند و وابستگی را نقض می‌کند. روش ارائه شده در این مقاله نیز با توجه به اینکه از رویکرد زمان‌بندی سراسری استفاده می‌کند قبضه‌های زیادی تولید می‌کند.

۳- حل مساله زمان‌بندی

به منظور حل مساله زمان‌بندی، ابتدا مدل سامانه به صورت دقیق مشخص می‌شود و سپس شرایط صحت زمان‌بندی برای سامانه مورد نظر بیان می‌شود. در نهایت الگوریتم زمان‌بندی شرح داده می‌شود.

۳-۱- مدل‌سازی سامانه

در این پژوهش یک سامانه بحرانی-مختلط (MCS) به نام S با دو حالت بحرانیت پایین (Low) و بالا (High) در نظر گرفته می‌شود. سامانه از حالت با بحرانیت پایین شروع به کار می‌کند و همه وظایف از سهمیه زمانی با بحرانیت پایین خود برای اجرا استفاده می‌کنند. هر هنگام که یک وظیفه نتواند در این سهمیه زمانی اجرائیش را کامل کند، یک TFE^2 (رویداد شکست زمان‌بندی) رخ می‌دهد و سامانه تغییر حالت داده و به حالت با بحرانیت بالا می‌رود و از این به بعد وظایف از سهمیه زمانی با بحرانیت بالای خود برای اجرا استفاده می‌کنند. در هنگام تغییر حالت سامانه، برای وظایف با سطح بحرانیت Low از رویکرد دور

^۱ Global-Earliest Deadline Zero Laxity

^۲ Timing Failure Event

صحت زمان‌بندی در حالت سامانه با بحرانیت پایین :

هنگامی که S در حالت با بحرانیت پایین قرار دارد (حالتی که زمان اجرای هیچ‌کدام از وظایف سامانه از مقدار $C(Low)$ آن‌ها تجاوز نمی‌کند)، باید تمامی وظایف سامانه تا قبل از رسیدن مهلتشان اجرائیشان را تکمیل کرده باشند. به بیان دقیق‌تر، برای هر وظیفه τ_j موجود در S که در k امین فعالسازی یا بازتولید خود است، باید مقدار زمان تخصیص یافته به τ_j در فاصله زمانی بین رهاسازی و مهلت آن در حالت سامانه با بحرانیت پایین از مقدار $C_j(Low)$ کمتر یا برابر با این مقدار باشد.

صحت زمان‌بندی در حالت سامانه با بحرانیت بالا :

هنگامی که S در حالت با بحرانیت بالا قرار دارد (حالتی که زمان اجرای هیچ‌کدام از وظایف سامانه از مقدار $C(High)$ آن‌ها تجاوز نمی‌کند)، باید تمامی وظایف سامانه که دارای سطح بحرانیت $High$ هستند تا قبل از رسیدن مهلتشان اجرائیشان را تکمیل کرده باشند. به بیان دقیق‌تر، برای هر وظیفه τ_j موجود در S که در k امین فعالسازی یا بازتولید خود است و سطح بحرانیت آن $High$ است، باید مقدار زمان تخصیص یافته به τ_j در فاصله زمانی بین رهاسازی و مهلت آن در حالت سامانه با بحرانیت بالا از مقدار $C_j(High)$ کمتر یا برابر با این مقدار باشد.

شرط انتقال امن : این شرط در واقع مرتبط با صحت زمان‌بندی

در حالت با بحرانیت بالای سامانه است و به طور ویژه‌تر به تاثیر تغییر حالت سامانه روی صحت زمان‌بندی وظایف با سطح بحرانیت $High$ می‌پردازد. طبق این شرط، هنگامی که سامانه از حالت با بحرانیت پایین به حالت با بحرانیت بالا تغییر حالت می‌دهد باید تضمین شود این تغییر حالت سامانه امن است یعنی مدت زمان کافی برای تکمیل اجرای وظایف با سطح بحرانیت $High$ وجود داشته باشد. طبق اثباتی که در [۱۴] انجام شده است به ازای هر وظیفه τ_j با سطح بحرانیت $High$ موجود در S که در k امین بازتولید خود است و در هر زمان t باید رابطه (۱) برقرار باشد تا انتقال امن سامانه تضمین شود.

$$\forall \tau_j, et_{\tau_j}^{Low}(r_{j,k}, t) < C_j(Low) : \\ et_{\tau_j}^{Low}(r_{j,k}, t) \geq et_{\tau_j}^{High}(r_{j,k}, t) \quad (1)$$

در این رابطه t بیان‌گر زمان وقوع TFE در سامانه است و از آنجا که قبل از اجرا زمان وقوع TFE مشخص نیست باید برای بازه زمانی $r_{j,k} \leq t \leq d_{j,k}$ صحت این شرط بررسی شود. تابع $et_{\tau_j}^{\theta}(t_1, t_2)$ برابر با زمان اجرای سپری شده از وظیفه τ در فاصله زمانی بین t_1 و t_2 در حالت سامانه با بحرانیت θ است. طبق رابطه (۱)، در وظایف با سطح

- L_j سطح بحرانیت وظیفه τ_j است و Low یا $High$ است.
- $C_j(Low)$ برابر با WCET وظیفه τ_j در حالت با بحرانیت پایین سامانه است که یک عدد نامنفی و نشان‌دهنده سهمیه زمانی یا زمان اجرای وظیفه τ_j در حالت سامانه با بحرانیت پایین است.
- $C_j(High)$ برابر با WCET وظیفه τ_j در حالت با بحرانیت بالای سامانه است که یک عدد نامنفی و نشان‌دهنده سهمیه زمانی یا زمان اجرای وظیفه τ_j در حالت سامانه با بحرانیت بالا است و برای وظایف با سطح بحرانیت $High$ همواره مقدار آن بزرگتر یا مساوی با مقدار $C_j(Low)$ است. همچنین با توجه به رویکرد دور انداختن، برای وظیفه τ_j با سطح بحرانیت Low آنگاه $C_j(High) = 0$ خواهد بود.
- T_j یک عدد طبیعی و نشان‌دهنده دوره تناوب وظیفه τ_j است که مقدار آن برابر با دوره تناوب گرافی است که شامل وظیفه τ_j است ($T_j = T_i$). وظیفه τ_j در هر T_j واحد زمانی، یکبار بازتولید می‌شود که هر بازتولید آن را یک job می‌گویند. k امین بازتولید یا job وظیفه τ_j را با $J_{j,k}$ نشان می‌دهند و تمامی مشخصه‌های وظیفه τ_j را به ارث می‌برد. در واقع jobها نمودهای واقعی یک وظیفه متناوب در مساله زمان‌بندی هستند و در نهایت این jobها هستند که زمان‌بندی می‌شوند. زمان رهاسازی $J_{j,k}$ از طریق رابطه $r_{j,k} = (k-1) \times T_j$ و مهلت نسبی آن از رابطه $d_{j,k} = k \times T_j$ محاسبه می‌شود. اجرای $J_{j,k}$ باید بین مقدار $r_{j,k}$ و $d_{j,k}$ باشد تا زمان‌بندی مجاز باشد.
- D_j نشان‌دهنده مهلت مطلق وظیفه τ_j است. مهلت وظیفه به صورت implicit-deadline در نظر گرفته می‌شود و مقدار آن با دوره تناوب آن وظیفه یکسان خواهد بود یعنی $D_j = T_j$.
- مقدار بهره‌برداری برای هر گراف G_i در حالت سامانه با بحرانیت θ از طریق رابطه $U_{\theta}(G_i) = \sum_{\tau_j \in G_i} C_j(\theta) / T_i$ به دست می‌آید و مقدار بهره‌برداری کل سامانه در حالت با بحرانیت θ از طریق رابطه $U_{\theta}(S) = \sum_{G_i \in \Gamma} U_{\theta}(G_i)$ به منظور این که یک سامانه زمان‌بندپذیر باشد باید تعداد هسته‌های سامانه از بهره‌برداری سامانه در هر حالت بحرانی بیشتر یا مساوی باشد.

۳-۲- شرایط صحت زمان‌بندی

طبق [۱۰] و [۱۴] برای آن که یک زمان‌بندی ارائه شده برای سامانه S صحیح باشد باید این شرایط رعایت شوند:

¹ Release time

نحوه استفاده سامانه از این زمان‌بندی در زمان اجرا به این صورت است که تا قبل از وقوع TFE، از $table^{Low}$ برای تخصیص وظایف استفاده می‌شود و بعد از وقوع TFE، از $table^{High}$ برای تخصیص وظایف استفاده خواهد شد.

در الگوریتم ارائه شده در [۱۴] که بیشترین مشابهت را از نظر تعریف مساله با این پژوهش دارد زمان‌بندی به صورت قبضه‌ای انجام شده است و هیچ کنترلی روی تعداد قبضه‌های تولیدی ندارد. در حالی که بسیاری از این قبضه‌ها غیرضروری هستند و سامانه بدون آن‌ها هم می‌تواند زمان‌بندپذیر باشد. هم چنین هزینه قبضه و ارتباط در هنگام تخصیص وظایف در نظر گرفته نشده است و زمان‌بندی در یک سامانه ایده آل مورد بررسی قرار گرفته است که ممکن است در هنگام استفاده برای سامانه‌های واقعی کارا نباشد. در واقع در نظر نگرفتن هزینه قبضه و ارتباط باعث می‌شود زمان‌بندی انجام شده در حالت تئوری، درست به نظر برسد در حالی که در کاربرد ممکن است آن زمان‌بندی به علت در نظر نگرفتن این هزینه‌ها شکست بخورد. در این پژوهش در راستای کاهش تعداد قبضه‌ها، زمان‌بندی به صورت قبضه‌ای محدود ارائه می‌شود. هم‌چنین هزینه ارتباط و قبضه در الگوریتم زمان‌بندی لحاظ می‌شود.

هزینه قبضه: در سامانه S، اگر از زمان‌بندی قبضه‌ای برای تخصیص وظایف استفاده شود آن‌گاه وظیفه می‌تواند در بین اجرای خود، متوقف شود و ادامه اجرای خود را بر روی یک هسته دیگر یا یک زمان دیگر انجام دهد. وجود گسستگی بین اجرای وظیفه موجب تحمیل یک سربار زمانی می‌شود که به آن هزینه قبضه می‌گویند. هزینه قبضه هر وظیفه τ_j از رابطه زیر می‌آید $preemption_{cost}(\tau_j) = \lfloor PF \times execution(\tau_j) \rfloor$ [۱۸]. در این رابطه PF^1 عددی ثابت در کل سامانه و در بازه $[0,0.5]$ است و $execution(\tau_j)$ برابر با زمان اجرای وظیفه است. (اگر سامانه در حالت با بحرانیّت پایین باشد زمان اجرای وظیفه برابر با $C_j(Low)$ و اگر سامانه در حالت با بحرانیّت بالا باشد زمان اجرای وظیفه برابر با $C_j(High)$ خواهد بود).

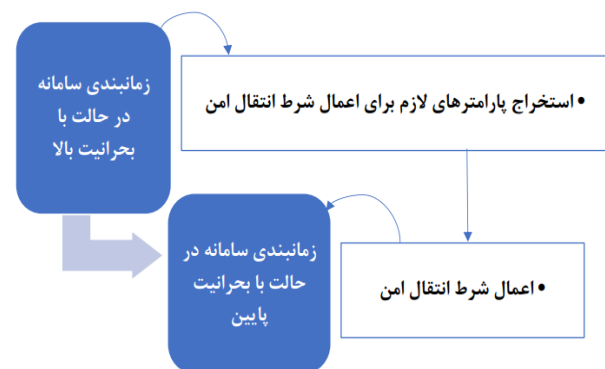
در سامانه وجود (τ_a, τ_b) ، اگر یال S هزینه ارتباط: در سامانه τ_a به برخی از داده‌های خروجی وظیفه τ_b داشته باشد آن‌گاه وظیفه به اتمام نرسیده τ_a تا زمانی که اجرای وظیفه τ_b وابسته است و وظیفه باشد اجازه شروع فعالیت ندارد. با توجه به هسته میزبان این دو وظیفه، دو حالت ممکن است رخ دهد [۸]. اگر این دو وظیفه بخش ابتدایی روی هسته مشترکی زمان‌بندی τ_a و بخش انتهایی وظیفه τ_b وظیفه

بحرانیّت High که تا قبل از t اجراشان در حالت با بحرانیّت پایین سامانه تمام نشده است می‌بایست مقدار زمان تخصیص داده شده به آن وظیفه تا زمان t در حالت سامانه با بحرانیّت پایین از مقدار زمان تخصیص داده شده به آن وظیفه تا زمان t در حالت سامانه با بحرانیّت بالا بزرگتر یا مساوی باشد.

۳-۳- زمان‌بندی وظایف

برای زمان‌بندی وظایف در سامانه S از یک الگوریتم استاتیک استفاده خواهیم کرد به این معنا که قبل از زمان اجرا و با توجه به مدل و مشخصات سامانه S، تخصیص زمان و هسته هر کدام از وظایف در حالت سامانه با بحرانیّت پایین و حالت سامانه با بحرانیّت بالا انجام می‌شود و نتایج آن‌ها در $table^{Low}$ (جدول زمان‌بندی در حالت با بحرانیّت پایین سامانه S) و $table^{High}$ (جدول زمان‌بندی در حالت با بحرانیّت بالای سامانه S) ذخیره می‌شود. استاتیک بودن الگوریتم این امکان را می‌دهد تا شرط انتقال امن که در بخش قبل به آن اشاره شد به راحتی محاسبه و بررسی شود. از جمله روش‌های استاتیک برای زمان‌بندی می‌توان به LLF و EDF اشاره کرد [۱۷].

زمان‌بندی ارائه شده در این پژوهش دو قدم اساسی دارد. در قدم اول باید زمان‌بندی در حالت با بحرانیّت پایین سامانه انجام و $table^{Low}$ تشکیل شود. اگر زمان‌بندی انجام شده مطابق با شرط صحت زمان‌بندی در حالت سامانه با بحرانیّت پایین درست بود، آنگاه در قدم دوم زمان‌بندی در حالت با بحرانیّت بالای سامانه با اعمال شرط انتقال امن انجام شده و $table^{High}$ تشکیل می‌شود. اگر زمان‌بندی انجام شده مطابق با شرط صحت زمان‌بندی در حالت سامانه با بحرانیّت بالا هم درست بود کل زمان‌بندی انجام شده برای سامانه S درست ارزیابی می‌شود چرا که هر سه شرط صحت زمان‌بندی سامانه را رعایت کرده است. در شکل (۱) مراحل کلی زمان‌بندی سامانه آمده است.



شکل (۱): مراحل کلی زمان‌بندی سامانه

¹ Preemption Factor

(۱) مرتب سازی وظایف آماده به اجرا: وظایف موجود در $Ready_{list}$ بر اساس لختی^۲ خود در زمان t به صورت صعودی مرتب سازی می شوند. هرچقدر لختی یک وظیفه کمتر باشد اولویت آن برای اجرا بیشتر خواهد بود. لختی برابر با فرجه زمانی هر وظیفه به منظور اجرای صحیح و تا قبل از فرارسیدن مهلت آن است. لختی در زمان t و برای هر وظیفه τ_j که در k امین فعالسازی خود است $(J_{j,k})$ از طریق رابطه (۲) محاسبه می شود [۱۴].

$$laxity(\tau_j, t) = d_{j,k} - t - CP(\tau_j) - remaining(\tau_j) \quad (2)$$

در این رابطه $CP(\tau_j)$ برابر با طول مسیر بحرانی (طول بزرگترین مسیر از گره τ_j تا گره خروجی) است. تاثیر مقدار $CP(\tau_j)$ در فرمول $laxity(\tau_j, t)$ باعث می شود که یک نگاه رو به جلو در تعیین فرجه وظیفه τ_j داشته باشیم. در واقع در محاسبه فرجه وظیفه τ_j ، علاوه بر این که اجرای صحیح و تا قبل از مهلت وظیفه τ_j را در نظر می گیرد اجرای صحیح و تا قبل از فرجه وظایف پسین τ_j را نیز لحاظ می کند. اگر $laxity(\tau_j, t) = 0$ باشد آن گاه وظیفه τ_j یک وظیفه اضطراری است و باید در زمان t زمان بندی شود تا خودش یا وظایف پسین آن قبل از رسیدن مهلتشان، اجرایشان را به اتمام برسانند.

(۲) تخصیص وظایف: بعد از آن که اولویت وظایف در $Ready_{list}$ مشخص شد، وظایف به ترتیب اولویت خود در زمان t زمان بندی می شوند. هنگام تخصیص وظایف ممکن است سه حالت رخ دهد:

- اگر هسته بی کار وجود داشته باشد ($Idle_{list} \neq \emptyset$) آن گاه وظیفه با بیشترین اولویت ($Ready_{list}[0]$) برای زمان بندی در لحظه t انتخاب می شود (τ_x). سپس هسته میزبان آن وظیفه (c_x) از بین هسته های بی کار به گونه ای انتخاب می شود که کمترین هزینه ارتباط را به آن وظیفه تحمیل کند. در واقع از بین هسته های بی کار، هسته ای انتخاب شود که مقدار $communication_{cost}(\tau_p, \tau_x) \max_{\tau_p \in pred(\tau_x)}$ را کمینه کند.
- اگر هسته بی کاری وجود نداشته باشد ($Idle_{list} = \emptyset$) و وظیفه $Ready_{list}[0]$ دارای لختی صفر باشد $(laxity(Ready_{list}[0], t) = 0)$ ، یک وظیفه در حال اجرا در صورت اضطراری نبودن خودش، متوقف می شود و هسته ای میزبان آن را، وظیفه $Ready_{list}[0]$ تصاحب می کند. زیرا وظیفه $Ready_{list}[0]$ در لحظه t هیچ فرجه ای ندارد و در صورت اجرا نشدن در لحظه t ، مهلت آن یا وظایف پسین آن در آینده رعایت نخواهد شد. از بین وظایف در حال اجرا، وظیفه با بیشترین لختی انتخاب می شود (وظیفه در حال اجرا با کمترین اولویت) و در

شده باشند انتقال داده بین آن ها در صفر واحد زمانی صورت می گیرد. اگر این دو وظیفه روی $communication_{cost}(\tau_a, \tau_b) = 0$ می گیرد می بایست پیش τ_b هسته های متفاوتی زمان بندی شده باشند، وظیفه τ_a از شروع به اجرای خود، مدت زمانی را صرف انتقال داده از وظیفه کند. این مدت زمان انتقال داده برابر با $communication_{cost}(\tau_a, \tau_b) = \lfloor CF \times execution(\tau_b) \rfloor$ خواهد بود. در این رابطه CF ^۱ عددی ثابت در کل سامانه و در بازه $[0, 0.5]$ است. $execution(\tau_b)$ هم برابر با زمان اجرای وظیفه τ_b است. حال اگر وظیفه τ به مجموعه ای از وظایف وابسته باشد باید به اندازه $communication_{cost}(\tau_p, \tau) \max_{\tau_p \in pred(\tau)}$ قبل از شروع به اجرای خود صرف انتقال داده کند.

به منظور پیاده سازی زمان بندی سامانه، یک الگوریتم برای محاسبه جدول زمان بندی در حالت سامانه با بحرانیت پایین و یک الگوریتم برای محاسبه جدول زمان بندی در حالت سامانه با بحرانیت بالا خواهیم داشت.

۳-۳-۱- الگوریتم محاسبه جدول زمان بندی در حالت با

بحرانیت پایین سامانه

شبه کد این الگوریتم در بخش ضمایم نمایش داده شده است و ورودی آن سامانه S است. پیش از توضیح الگوریتم، سه لیست اصلی که در اجرای این الگوریتم نقش مهمی ایفا می کنند معرفی می شوند:

- $Ready_{list}$: لیست وظایفی که آماده اجرا هستند و در شروع الگوریتم این لیست خالی است.
- $Running_{list}$: لیست وظایفی که در حال اجرا هستند و در شروع الگوریتم این لیست خالی است.
- $Idle_{list}$: لیست هسته هایی که بی کار هستند و در شروع الگوریتم شامل تمام هسته های سامانه است.

در ابتدا اولین فعالسازی از همه وظایف موجود در تمام DAG های سامانه به منظور زمان بندی وارد می شوند و مدت زمان باقی مانده از اجرای هر وظیفه یا $remaining(\tau_j)$ برابر با سهمیه زمانی در حالت با بحرانیت پایین آن ها قرار می گیرد. $Ready_{list}$ به روز رسانی می شود و وظایفی که هیچ وظیفه پیش نیازی ندارند (وظایف جد) وارد این لیست می شوند. سپس برای همه زمان های بین 0 تا $HP(S)$ مراحل زیر تکرار می شود تا نحوه تخصیص وظایف در هر کدام از زمان های این بازه مشخص شوند. در هر زمان t این مراحل انجام می شود:

² Laxity

¹ Communication Factor

می‌شوند و وظایفی که اجرایشان تکمیل شده است از لیست وظایف در حال اجرا خارج می‌شوند.

۴) بازفعالسازی وظایف: در صورتی که یک DAG، به زمان دوره تناوب خود برسد باید مجدداً فعالسازی شود و فعالسازی جدید وظایف آن (job های جدید) به منظور زمان‌بندی وارد شوند. زمان اجرای باقیمانده هر کدام از این وظایف برابر با سهمیه زمانی آن‌ها در حالت با بحرانیت پایین سامانه قرار می‌گیرد. هم چنین وظایفی که پیش‌نیازی ندارند وارد $Ready_{list}$ می‌شوند.

هنگامی که برای همه زمان‌ها تا Hyper-Period این مراحل انجام شد الگوریتم زمان‌بندی در حالت با بحرانیت پایین سامانه به اتمام می‌رسد و جدول زمان‌بندی در این حالت را به عنوان خروجی می‌دهد.

۳-۲- الگوریتم محاسبه جدول زمان‌بندی در حالت با بحرانیت بالای سامانه

شبه کد این الگوریتم در بخش ضمایم نمایش داده شده است و ورودی آن سامانه S است. این الگوریتم شباهت زیادی با الگوریتم محاسبه جدول زمان‌بندی در حالت با بحرانیت پایین سامانه دارد و فقط در برخی موارد جزئی با آن تفاوت دارد که آن‌ها را بیان می‌کنیم:

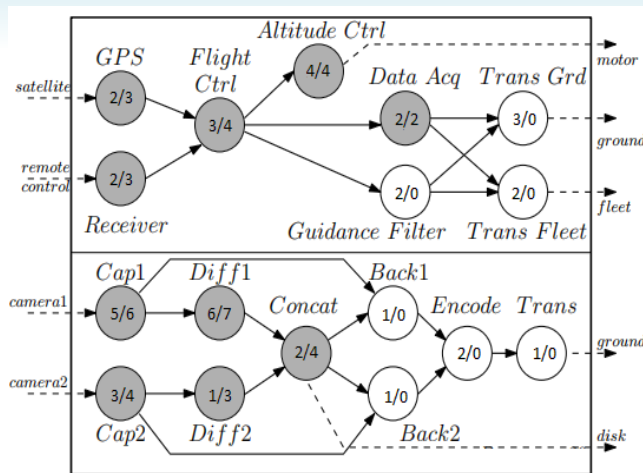
- حذف وظایف با سطح بحرانیت Low : طبق رویکرد دورانداختن، در حالت با بحرانیت بالای سامانه، وظایف با سطح بحرانیت Low حضور ندارند و هنگام زمان‌بندی در این حالت باید تمام این وظایف و یال‌های مرتبط با آن‌ها از DAG های موجود در سامانه حذف شوند. هم چنین وظایف از سهمیه زمانی با بحرانیت بالای خود یعنی $C(High)$ استفاده می‌کنند.
- اعمال شرط انتقال امن در زمان‌بندی: به منظور آن که انتقال سامانه از حالت با بحرانیت پایین به حالت با بحرانیت بالا امن باشد باید در هنگام زمان‌بندی در حالت با بحرانیت بالای سامانه به ازای هر وظیفه τ و در هر زمان t شرط انتقال امن بررسی شود $(VerifySafeTransition(\tau, t))$. به ازای هر وظیفه τ که اجرای آن تا زمان t در حالت با بحرانیت پایین سامانه تمام نشده است، اگر $et_{\tau}^{Low}(r_{\tau}, t+1) = et_{\tau}^{High}(r_{\tau}, t)$ باشد به این معنی است که اجرای وظیفه در بازه زمانی t تا $t+1$ در حالت با بحرانیت بالای سامانه، موجب پیشی گرفتن مقدار $et_{\tau}^{High}(r_{\tau}, t+1)$ از $et_{\tau}^{Low}(r_{\tau}, t+1)$ و نقض شرط انتقال امن در زمان $t+1$ خواهد شد. پس باید از اجرای وظیفه در بازه زمانی t تا $t+1$ ممانعت به عمل آید تا انتقال امن سامانه تضمین شود. با توجه به این که زمان‌بندی به صورت قبضه‌ای است شرط انتقال امن سامانه باید

صورتی که لختی آن بیشتر از صفر باشد $(laxity(\tau_y, t) > 0)$ ، متوقف می‌شود و از لیست وظایف در حال اجرا خارج و به لیست وظایف آماده به اجرا منتقل می‌شود. هم چنین هسته میزبان وظیفه متوقف شده (τ_y) در لحظه t به حالت بی‌کار در می‌آید و این هسته (c_x) در اختیار وظیفه $Ready_{list}[0](\tau_x)$ قرار می‌گیرد. جدول زمان‌بندی هم با توجه به متوقف شدن τ_y ، به روزرسانی می‌شود و تخصیص وظیفه τ_y در زمان‌های بزرگتر یا مساوی t از آن حذف می‌شود.

○ اگر هسته بی‌کاری وجود نداشته باشد $(Idle_{list} = \emptyset)$ و وظیفه $Ready_{list}[0]$ که در ابتدای لیست وظایف آماده به اجرا قرار دارد اضطراری نباشد $(laxity(Ready_{list}[0], t) > 0)$ تخصیص در زمان t به اتمام می‌رسد و به مرحله (۳) می‌رود.

بعد از مشخص شدن τ_x و c_x ، $load(\tau_x)$ (زمان بارگذاری یا آماده سازی وظیفه) مقداردهی می‌شود. اگر τ_x وظیفه‌ای باشد که قبلاً قبضه شده است $(remaining(\tau_x) < C_{\tau_x}(Low))$ ، مقدار $load(\tau_x)$ برابر با هزینه قبضه آن وظیفه قرار می‌گیرد و در غیر این صورت، $load(\tau_x)$ برابر با هزینه ارتباط قرار می‌گیرد. هر وظیفه‌ای آماده اجرا، بعد از گذراندن مقدار $load$ خود می‌تواند اجرای اصلی خود را شروع کند. سپس شرط صحت زمان‌بندی $(VerifyDeadline(\tau_x, t))$ برای آن وظیفه بررسی شود و اگر تشخیص داده شود زمان‌بندی وظیفه در زمان t موجب نقض مهلت آن وظیفه یا وظایف پسین آن می‌شود زمان‌بندی غلط اعلام شده و الگوریتم به پایان می‌رسد ($laxity(\tau_x, t) - load(\tau_x) < 0$). اگر صحت زمان‌بندی تضمین شود تخصیص در جدول زمان‌بندی انجام می‌شود و از زمان t تا $t + load(\tau_x)$ به بارگذاری آن وظیفه و از زمان $t + load(\tau_x) + remaining(\tau_x)$ به اجرای اصلی وظیفه روی هسته c_x اختصاص داده می‌شود. سپس وظیفه زمان‌بندی شده از $Ready_{list}$ حذف و به $Running_{list}$ می‌رود. هم چنین c_x از $Idle_{list}$ خارج می‌شود.

۳) به روز رسانی لیست وظایف در حال اجرا و آماده به اجرا: به ازای هر وظیفه موجود در $Running_{list}$ ، مقدار $remaining$ یا $load$ آن وظیفه یک واحد کم می‌شود. (در صورتی که وظیفه هنوز زمان بارگذاری خود را کامل نکرده باشد $load$ کاهش می‌یابد و در غیر این صورت $remaining$ کاهش می‌یابد). سپس وظایف پسین وظایفی که اجرای خود را تکمیل کرده‌اند در صورتی که همه پیش‌نیاز هایشان اجرایشان تکمیل شده باشد به لیست وظایف آماده به اجرا اضافه



شکل (۲): سامانه UAV (۱۴)

سامانه UAV مورد نظر از دو بخش تشکیل شده است. بخش اول (بالای شکل) مرتبط با سیستم کنترل پرواز (FCS^2) است [۱۹] که وظایف مرتبط با این بخش در یک DAG نمایش داده شده است و دروه تناوب آن برابر با $T_{FCS} = 12$ است. بخش دوم (پایین شکل) سیستم پردازش تصویر با نام Montage است [۲۰] که وظایف مرتبط با این بخش در یک DAG نمایش داده شده است و دروه تناوب آن برابر با $T_{Montage} = 24$ است.

هر کدام از این DAG ها از تعدادی گره تشکیل شده‌اند که نشان‌دهنده وظایف هستند. گره‌های با رنگ سفید نشان‌دهنده وظایف با سطح بحرانییت پایین و گره‌های با رنگ خاکستری نشان‌دهنده وظایف با سطح بحرانییت بالا هستند. در داخل هر گره سهمیه زمانی آن وظیفه در حالت با بحرانییت پایین و حالت با بحرانییت بالای سامانه نمایش داده شده است. (عدد اول از سمت چپ برابر با $C(Low)$ و عدد دوم برابر با $C(High)$ آن وظیفه است) وظایف با سطح بحرانییت پایین در حالت با بحرانییت بالای سامانه شرکت ندارند بنابراین سهمیه زمانی آن‌ها در حالت با بحرانییت بالای سامانه برابر با صفر است. هر DAG علاوه بر گره‌ها، شامل تعدادی یال است که نشان‌دهنده وابستگی داده‌ای بین وظایف است. پیکان‌های نقطه‌چین نیز نشان‌دهنده آن است که داده‌ها از کجا آمده‌اند یا به کجا فرستاده می‌شوند.

زمان‌بندی این سامانه می‌بایست در یک Hyper-Period بررسی شود. Hyper-Period این سامانه برابر با ۲۴ خواهد بود. بنابراین دو فعالسازی از وظایف موجود در FCS و یک فعالسازی از وظایف موجود در Montage خواهیم داشت.

هم برای وظایف آماده به اجرا و هم برای وظایف در حال اجرا بررسی شود.

به منظور بررسی شرط انتقال امن برای وظایف آماده به اجرا، هنگام مرتب سازی وظایف موجود در $Readylist$ ، ابتدا $VerifySafeTransition(\tau, t)$ برای هر وظیفه بررسی می‌شود و وظایف نقض کننده شرط، در لحظه t اجازه اجرا ندارند و به انتهای لیست می‌روند. باقی وظایف نیز بر اساس $laxity$ خود از ابتدای لیست مرتب می‌شوند. اگر بعد از مرتب سازی $Readylist$ با الگوی گفته شده، اولین وظیفه لیست یک وظیفه نقض کننده شرط انتقال امن باشد به این معنیست که تمام وظایف لیست نقض کننده شرط انتقال امن هستند بنابراین هیچ کدام از این وظایف در لحظه t اجازه تخصیص ندارند و مرحله تخصیص در لحظه t به کل انجام نخواهد شد.

به منظور بررسی شرط انتقال امن برای وظایف در حال اجرا، باید در مرحله به روز رسانی لیست وظایف در حال اجرا به ازای هر وظیفه $VerifySafeTransition(\tau, t)$ بررسی شود و اگر وظیفه نقض کننده شرط بود آن وظیفه باید متوقف شود و ادامه اجرای آن به زمانی دیرتر موکول شود. در این صورت وظیفه از حال اجرا خارج شده و به وظایف آماده به اجرا می‌پیوندد. هم چنین هسته میزبان آن وظیفه نیز به حالت بی کار در می‌آید و جدول زمان بندی نیز با توجه به متوقف شدن این وظیفه به روز رسانی می‌شود.

۴- نمونه انگیزشی

در این بخش، یک نمونه زمان بندی حل شده به وسیله الگوریتم شرح داده شده در این مقاله نمایش داده می‌شود. یک پهپاد یا هواپیمای بدون سرنشین (UAV^1) به عنوان یک سامانه نمونه در نظر گرفته می‌شود. نمایش گرافیکی نرم افزار این سامانه در شکل (۲) ارائه شده است. [۱۴]

² Flight Control System

¹ Unmanned Aerial Vehicle

موجود در [۲۲] و [۲۳] استفاده شده است. مهم‌ترین پارامترهای این ابزار برای تولید یک MCS تصادفی به شرح زیر است:

- U_{MAX} که بیان‌گر بیشینه بهره‌برداری سامانه MCS در دو حالت با بحرانیت بالا و بحرانیت پایین است.
- ND که بیان‌گر تعداد MC-DAG های موجود در MCS است.
- NT که بیان‌گر تعداد MC-Task ها در هر MC-DAG است.
- e که احتمال وجود یال بین دو گره در یک MC-DAG را نشان می‌دهد. (احتمال وجود وابستگی بین دو وظیفه)

۵-۲- شرح آزمایش‌های انجام گرفته

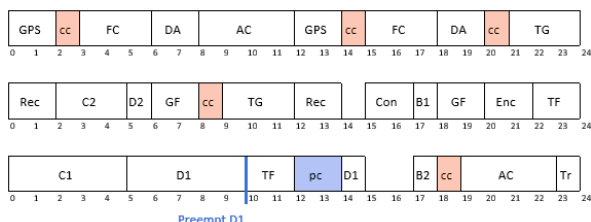
در این بخش با انجام آزمایشات مختلف، ابتدا تاثیر پارامترهای مختلف در زمان‌بندی ارائه شده توسط این مقاله تحلیل می‌گردد و پس از آن با الگوریتم [۱۴] (قبضه‌ای) مقایسه می‌گردد.

۵-۲-۱- تحلیل پارامترهای مختلف در زمان‌بندی ارائه شده

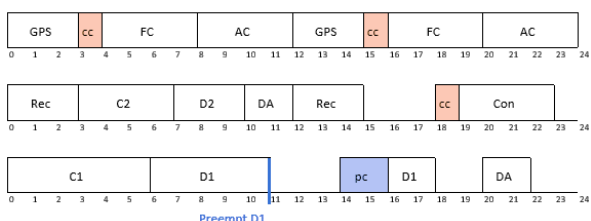
هدف از انجام آزمایش‌ها، ارزیابی نرخ زمان‌بندی‌پذیری یا نرخ پذیرش^۱ زمان‌بندی ارائه شده در این مقاله است. نرخ پذیرش یک زمان‌بندی برابر با نسبت آزمایش‌های زمان‌بندی‌پذیر توسط آن زمان‌بندی به کل آزمایش‌های انجام شده است.

در شکل (۵) یک نمونه آزمایش انجام شده به منظور ارزیابی نرخ پذیرش نمایش داده شده است. محور افقی نشان‌دهنده بهره‌برداری نرمال سامانه و برابر با $U_{MAX}/m = U_{Norm}$ است. U_{MAX} همان بیشینه بهره‌برداری سامانه و m تعداد هسته‌های سامانه به هنگام زمان‌بندی است. محور عمودی نیز نشان‌دهنده نرخ پذیرش است. هم‌چنین در هر نقطه از نمودار، ۱۰۰ نمونه تصادفی MCS تولید و به وسیله الگوریتم آزمایش شده است. در این آزمایش به منظور تولید MCS های تصادفی، از پارامترهای $ND = 2$ ، $e = 20\%$ و $NT = 5, 10, 20$ استفاده شده است. هم‌چنین در زمان‌بندی $m = 4$ و $CF = 0.2$ استفاده شده است. $PF = 0.2$ در نظر گرفته شده است.

زمان‌بندی وظایف این سامانه با استفاده از الگوریتم این مقاله و با فرض داشتن یک معماری ۳ هسته‌ای و $PF = CF = 0.4$ انجام می‌شود. نتیجه زمان‌بندی این سامانه در حالت با بحرانیت پایین در شکل (۳) و نتیجه زمان‌بندی در حالت با بحرانیت بالا در شکل (۴) آمده است. در این زمان‌بندی‌ها، قسمت‌های با عنوان cc که قبل از اجرای برخی وظایف وجود دارد نشان‌دهنده هزینه ارتباط تحمیل‌شده به آن وظیفه است و قسمت‌های با عنوان pc که قبل از اجرای برخی وظایف وجود دارد نشان‌دهنده هزینه قبضه تحمیل‌شده به آن وظیفه است. همان‌طور که مشخص است تعداد قبضه‌ها در حالت با بحرانیت پایین سامانه برابر با ۱ و در حالت با بحرانیت بالای سامانه هم برابر با ۱ است.



شکل (۳): زمان‌بندی UAV در حالت با بحرانیت پایین سامانه



شکل (۴): زمان‌بندی UAV در حالت با بحرانیت بالای سامانه

۵- نتایج آزمایشات

در این بخش نتایج و آزمایش‌های انجام شده به منظور ارزیابی زمان‌بندی ارائه شده، شرح داده می‌شوند.

۵-۱- محیط آزمایش شبیه‌سازی

به منظور انجام آزمایشات، نیاز به یک ابزار برای تولید تصادفی MCS و متشکل از MC-DAG هایی با تنظیمات مختلف است. این ابزار قبلاً توسط [۱۴] پیاده‌سازی شده است که در این پژوهش هم از آن استفاده خواهد شد. این ابزار تضمین می‌کند که MCS تولید شده بی‌طرفانه باشد و به طور یکنواخت تنظیمات احتمالی زمان‌بندی را پوشش دهد. در این ابزار، به منظور تولید بی‌طرفانه از روش‌های موجود در [۲۱] برای تولید DAG با توپولوژی‌های بی‌طرفانه استفاده شده است و به منظور توزیع یکنواخت بهره‌برداری وظایف از ادغام روش‌های

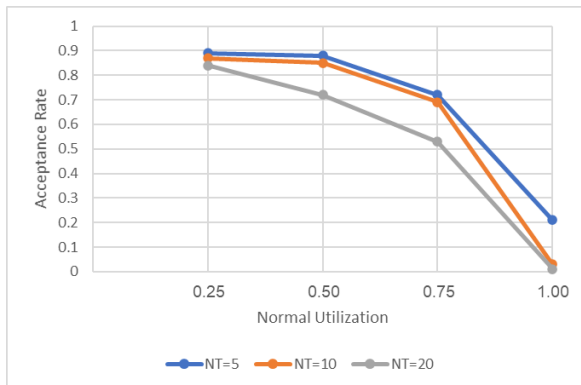
¹ Acceptance Rate

شکل (۶): نتایج زمان‌بندپذیری با تنظیمات $ND=4, e=20\%, m=4$

$CF=0.2, PF=0.2$

تأثیر e : به منظور بررسی تأثیر افزایش وابستگی‌های بین وظایف

در زمان‌بندپذیری، در شکل (۷)، e را نسبت به شکل (۵) افزایش داده و $e = 40\%$ قرار گرفته است. افزایش e ، موجب افزایش وابستگی بین وظایف و در نتیجه اعمال محدودیت‌های بیشتر در زمان‌بندی وظایف می‌گردد و بنابراین موجب کاهش نرخ زمان‌بندپذیری نسبت به شکل (۵) شده است.

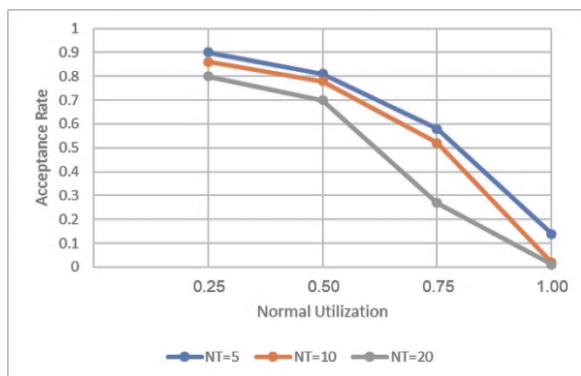


شکل (۷): نتایج زمان‌بندپذیری با تنظیمات $ND=2, e=40\%, m=4$

$CF=0.2, PF=0.2$

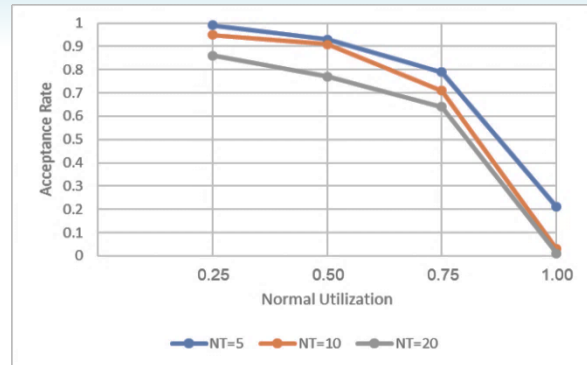
تأثیر m : به منظور بررسی تأثیر تعداد هسته‌ها در

زمان‌بندپذیری، در شکل (۸) تعداد هسته‌ها را نسبت به شکل (۵) افزایش داده و $m = 8$ قرار گرفته است. همان‌طور که مشخص است افزایش تعداد هسته‌ها موجب کاهش نرخ زمان‌بندپذیری نسبت به شکل (۵) شده است (بهره‌برداری نرمال در نقاط متناظر یکسان است و m دو برابر شده است بنابراین با توجه به رابطه $U_{Norm} = U_{MAX}/m$ ، U_{MAX} نیز دو برابر شده است و از آنجایی که افزایش U_{MAX} موجب کاهش نرخ زمان‌بندپذیری می‌شود در این‌جا هم با کاهش نرخ زمان‌بندپذیری روبه‌رو هستیم).



شکل (۸): نتایج زمان‌بندپذیری با تنظیمات $ND=2, e=20\%, m=8$

$CF=0.2, PF=0.2$



شکل (۵): نتایج زمان‌بندپذیری با تنظیمات $ND=2, e=20\%, m=4$

$CF=0.2, PF=0.2$

تأثیر U_{MAX} : همان‌طور که در شکل (۵) مشخص است با حرکت

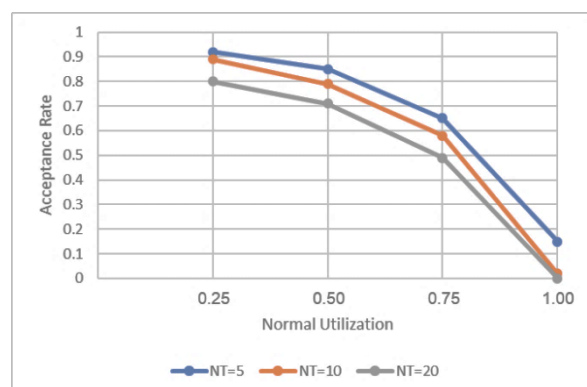
در راستای محور افقی و افزایش U_{MAX} (افزایش U_{MAX} متناظر با افزایش بهره‌برداری نرمال است) نرخ زمان‌بندپذیری کاهش می‌یابد. در واقع افزایش U_{MAX} باعث می‌شود تا سامانه متراکم‌تر و محدودیت‌های زمانی وظایف افزایش یابد و بنابراین زمان‌بندی در مهلت مقرر هر وظیفه سخت‌تر شود.

تأثیر NT : همان‌طور که در شکل (۵) مشخص است افزایش

تعداد وظایف موجب کاهش در نرخ زمان‌بندپذیری شده است. با افزایش تعداد وظایف، در هر لحظه از زمان‌بندی سامانه، تعداد وظایف آماده برای زمان‌بندی در آن لحظه افزایش می‌یابد و از آنجایی که تعداد منابع پردازشی ثابت مانده است بنابراین احتمال از دست رفتن مهلت وظایف بالا می‌رود.

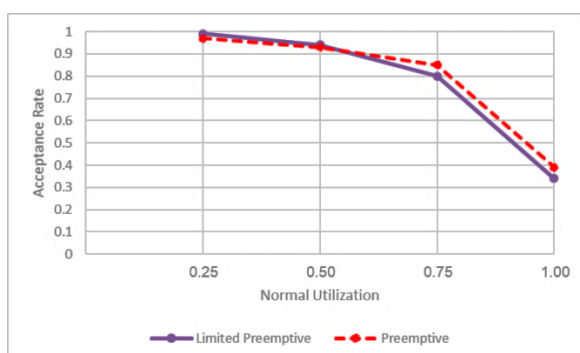
تأثیر ND : به منظور بررسی تأثیر تعداد DAG‌ها در

زمان‌بندپذیری، در شکل (۶) تعداد DAG‌ها را نسبت به شکل (۵) افزایش داده و $ND = 4$ قرار گرفته است. افزایش تعداد DAG‌ها، موجب افزایش تعداد وظایف می‌گردد و بنابراین به همان دلیل بیان‌شده در مورد قبل، موجب کاهش نرخ زمان‌بندپذیری نسبت به شکل (۵) شده است.



مساله با این پژوهش دارد مقایسه می‌گردد. در الگوریتم قبضه‌ای، هزینه قبضه و ارتباط لحاظ نشده است. بنابراین $PF = CF = 0$ در نظر گرفته می‌شود. در این بخش، زمان‌بندی و فراوانی قبضه $(Preemption Frequency = \frac{total\ preemptions}{hyper-period})$ دو الگوریتم مقایسه می‌گردند.

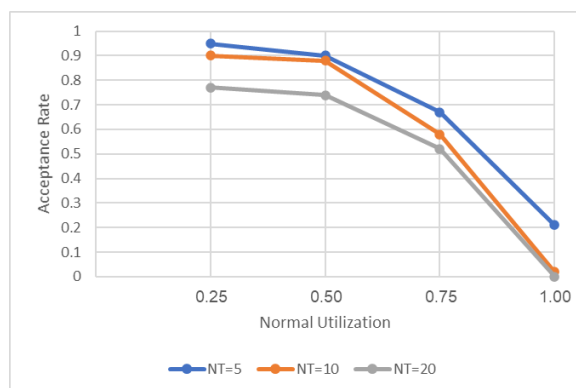
در شکل (۱۱) یک نمونه آزمایش انجام شده به منظور مقایسه نرخ زمان‌بندی‌پذیری نمایش داده شده است. محور افقی نشان‌دهنده بهره‌برداری نرمال سامانه و محور عمودی نشان‌دهنده نرخ پذیرش الگوریتم است. در هر نقطه از نمودار، ۱۰۰ نمونه تصادفی MCS تولید و به وسیله الگوریتم این پژوهش (قبضه‌ای محدود) و الگوریتم قبضه‌ای آزمایش شده است. در این آزمایش به منظور تولید MCS های تصادفی، از پارامترهای $ND = 2$ ، $e = 20\%$ و $NT = 10$ استفاده شده است. همچنین حین زمان‌بندی $m = 4$ و $PF = CF = 0$ در نظر گرفته شده است. همان‌طور که در شکل (۱۱) مشخص است با وجود این‌که در الگوریتم ارائه شده در این پژوهش قبضه به صورت محدود و کنترل شده است ولی با این حال نرخ زمان‌بندی‌پذیری کاهش محسوسی نسبت به الگوریتم قبضه‌ای نداشته است.



شکل (۱۱): مقایسه زمان‌بندی‌پذیری دو الگوریتم با تنظیمات $ND=2$ ، $NT=10$ ، $e=20\%$ ، $m=4$ ، $CF=PF=0$

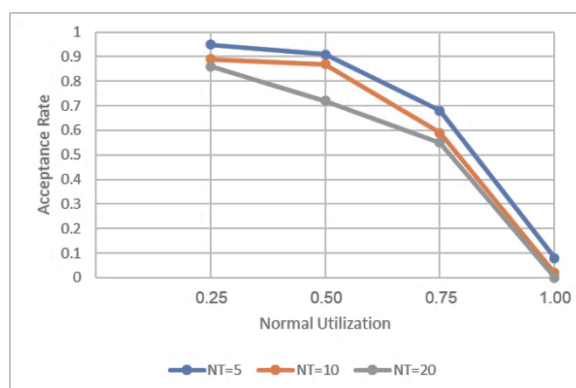
در شکل (۱۲) یک نمونه آزمایش انجام شده به منظور مقایسه فراوانی قبضه نمایش داده شده است. محور افقی نشان‌دهنده بهره‌برداری نرمال سامانه و محور عمودی نشان‌دهنده فراوانی قبضه الگوریتم است. در هر نقطه از نمودار، ۱۰۰ نمونه تصادفی MCS که زمان‌بندی‌پذیر هستند توسط الگوریتم این پژوهش (قبضه‌ای محدود) و الگوریتم قبضه‌ای آزمایش شده‌اند و متوسط فراوانی قبضه این نمونه‌ها در نمودار نمایش داده شده است. به منظور تولید MCS های تصادفی، از پارامترهای $ND = 2$ ، $e = 20\%$ و $NT = 10$ استفاده شده است. همچنین حین زمان‌بندی $m = 4$ و $PF = CF = 0$ در نظر گرفته

تأثیر CF: برای بررسی تأثیر اندازه CF در زمان‌بندی‌پذیری، در شکل (۹) مقدار CF را نسبت به شکل (۵) افزایش داده و $CF = 0.4$ قرار گرفته است. افزایش CF باعث می‌شود که هزینه ارتباط بیش‌تری به عنوان سربار به وظایف وابسته اضافه شود و زمان‌بندی وظایف در مهلت مقرر سخت‌تر شود. بنابراین نرخ زمان‌بندی‌پذیری نسبت به شکل (۵) کاهش یافته است.



شکل (۹): نتایج زمان‌بندی‌پذیری با تنظیمات $ND=2$ ، $e=20\%$ ، $m=4$ ، $CF=0.4$ ، $PF=0.2$

تأثیر PF: برای بررسی تأثیر PF در زمان‌بندی‌پذیری، در شکل (۱۰) مقدار PF را نسبت به شکل (۵) افزایش داده و $PF = 0.4$ قرار گرفته است. افزایش PF باعث می‌شود که هزینه قبضه بیش‌تری به عنوان سربار به وظایف در هنگام شروع مجدد بعد از قبضه شدن اضافه شود و زمان‌بندی وظایف در مهلت مقرر سخت‌تر شود. بنابراین نرخ زمان‌بندی‌پذیری نسبت به شکل (۵) کاهش یافته است.



شکل (۱۰): نتایج زمان‌بندی‌پذیری با تنظیمات $ND=2$ ، $e=20\%$ ، $m=4$ ، $CF=0.2$ ، $PF=0.4$

۵-۲-۲- مقایسه با روش قبضه‌ای

زمان‌بندی در این پژوهش به صورت قبضه‌ای محدود ارائه شد و در این بخش با الگوریتم [۱۴] (قبضه‌ای) که بیشترین تشابه را از نظر تعریف

ضمایم

- شبه کد الگوریتم محاسبه جدول زمان‌بندی در حالت با بحرانیت پایین سامانه

```

1. Input  $S$  : MCS to schedule limited preemptive in LOW Mode
2.  $Ready_{low} \leftarrow \emptyset$ 
3.  $Running_{low} \leftarrow \emptyset$ 
4.  $Idle_{low} \leftarrow \{c \in \Pi\}$ 
5. for all graph  $G_i \in \Gamma$  do
6.    $\forall r_j \in G_i : remaining(r_j) \leftarrow C_j(Low)$ 
7.    $Ready_{low} = Ready_{low} \cup \{r_j \in V_i | pred(r_j) = \emptyset\}$ 
8. end for
9. for all timeslots  $0 \leq t < HP(S)$  do
10.  Sort  $\tau \in Ready_{low}$  by  $laxity(\tau, t)$ 
11.  while  $Ready_{low} \neq \emptyset$  do
12.     $\tau_x \leftarrow Ready_{low}[0]$ 
13.    if  $Idle_{low} \neq \emptyset$  then
14.       $c_x \leftarrow (c \in Idle_{low} | minimize communications)$ 
15.    else if  $laxity(\tau_x, t) = 0$  and  $\max_{\tau \in Running_{low}} laxity(\tau, t) > 0$  then
16.       $\tau_p \leftarrow (\tau \in Running_{low} | maximize laxity(\tau, t))$ 
17.       $c_x \leftarrow (c | table^{low}[t, c] = \tau_p \text{ or } table^{low}[t, c] = \tau_p.load)$ 
18.       $t' \geq t : table^{low}[t', c_x] \leftarrow \emptyset$ 
19.       $Running_{low} \leftarrow Running_{low} - \{\tau_p\}$ 
20.       $Ready_{low} \leftarrow Ready_{low} \cup \{\tau_p\}$ 
21.    else break while
22.  end if
23.  if  $remaining(\tau_x) < C_x(Low)$  then
24.     $load(\tau_x) \leftarrow preemption_{cost}(\tau_x)$ 
25.  else
26.     $load(\tau_x) \leftarrow \max_{\tau_p \in pred(\tau_x)} communication_{cost}(\tau_p, \tau_x)$ 
27.  end if
28.  if not VerifyDeadline( $\tau_x, t$ ) then
29.    return Not Schedulable
30.  end if
31.  if  $\tau_x \in [t, t + load(\tau_x)] : table^{low}[\tau_x, c_x] \leftarrow \tau_x.load$ 
32.   $\tau_x \in [t + load(\tau_x), t + load(\tau_x) + remaining(\tau_x)] : table^{low}[\tau_x, c_x] \leftarrow \tau_x$ 
33.   $Idle_{low} \leftarrow Idle_{low} - \{c_x\}$ 
34.   $Ready_{low} \leftarrow Ready_{low} - \{\tau_x\}$ 
35.   $Running_{low} \leftarrow Running_{low} \cup \{\tau_x\}$ 
36. end while
37. for all task  $\tau \in Running_{low}$  do
38.  if  $load(\tau) \neq 0$  then
39.     $load(\tau) \leftarrow load(\tau) - 1$ 
40.  else
41.     $remaining(\tau) \leftarrow remaining(\tau) - 1$ 
42.  end if
43.  if  $remaining(\tau) = 0$  then
44.     $Ready_{low} = Ready_{low} \cup \{succ(\tau) | \tau_p \in pred(succ(\tau)), remaining(\tau_p) = 0\}$ 
45.     $Running_{low} \leftarrow Running_{low} - \{\tau\}$ 
46.     $Idle_{low} \leftarrow Idle_{low} \cup \{c | table^{low}[t, c] = \tau\}$ 
47.  end if
48. end for
49. for all  $G_i \in \Gamma$  do
50.  if  $(t+1) mode T_i = 0$  then
51.     $\forall r_j \in V_i : remaining(r_j) \leftarrow C_j(Low)$ 
52.     $Ready_{low} = Ready_{low} \cup \{r_j \in V_i | pred(r_j) = \emptyset\}$ 
53.  end if
54. end for
55. end for
56. end for
57. return  $table^{low}$ 

```

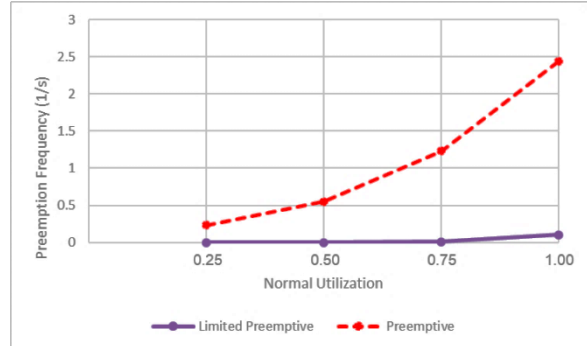
- شبه کد الگوریتم محاسبه جدول زمان‌بندی در حالت با بحرانیت بالای سامانه

```

1. Input  $S$  : MCS to schedule limited preemptive in HIGH Mode
2. Remove LOW tasks and their edges
3.  $Ready_{high} \leftarrow \emptyset$ 
4.  $Running_{high} \leftarrow \emptyset$ 
5.  $Idle_{high} \leftarrow \{c \in \Pi\}$ 
6. for all graph  $G_i \in \Gamma$  do
7.    $\forall r_j \in G_i : remaining(r_j) \leftarrow C_j(High)$ 
8.    $Ready_{high} = Ready_{high} \cup \{r_j \in V_i | pred(r_j) = \emptyset\}$ 
9. end for
10. for all timeslots  $0 \leq t < HP(S)$  do
11.  Sort  $\tau \in Ready_{high}$  by  $laxity(\tau, t)$  and VerifySafeTransition( $\tau, t$ )
12.  while  $Ready_{high} \neq \emptyset$  do
13.    if not VerifySafeTransition( $Ready_{high}[0], t$ ) then
14.      break while
15.    end if
16.     $\tau_x \leftarrow Ready_{high}[0]$ 
17.    if  $Idle_{high} \neq \emptyset$  then
18.       $c_x \leftarrow (c \in Idle_{high} | minimize communications)$ 
19.    else if  $laxity(\tau_x, t) = 0$  and  $\max_{\tau \in Running_{high}} laxity(\tau, t) > 0$  then
20.       $\tau_p \leftarrow (\tau \in Running_{high} | maximize laxity(\tau, t))$ 
21.       $c_x \leftarrow (c | table^{high}[t, c] = \tau_p \text{ or } table^{high}[t, c] = \tau_p.load)$ 
22.       $t' \geq t : table^{high}[t', c_x] \leftarrow \emptyset$ 
23.       $Running_{high} \leftarrow Running_{high} - \{\tau_p\}$ 
24.       $Ready_{high} \leftarrow Ready_{high} \cup \{\tau_p\}$ 
25.    else break while
26.  end if
27.  if  $remaining(\tau_x) < C_x(High)$  then
28.     $load(\tau_x) \leftarrow preemption_{cost}(\tau_x)$ 
29.  else
30.     $load(\tau_x) \leftarrow \max_{\tau_p \in pred(\tau_x)} communication_{cost}(\tau_p, \tau_x)$ 
31.  end if
32.  if not VerifyDeadline( $\tau_x, t$ ) then
33.    return Not Schedulable
34.  end if
35.  if  $\tau_x \in [t, t + load(\tau_x)] : table^{high}[\tau_x, c_x] \leftarrow \tau_x.load$ 
36.   $\tau_x \in [t + load(\tau_x), t + load(\tau_x) + remaining(\tau_x)] : table^{high}[\tau_x, c_x] \leftarrow \tau_x$ 
37.   $Idle_{high} \leftarrow Idle_{high} - \{c_x\}$ 
38.   $Ready_{high} \leftarrow Ready_{high} - \{\tau_x\}$ 
39.   $Running_{high} \leftarrow Running_{high} \cup \{\tau_x\}$ 
40. end while
41. for all task  $\tau \in Running_{high}$  do
42.  if  $load(\tau) \neq 0$  then
43.     $load(\tau) \leftarrow load(\tau) - 1$ 
44.  else
45.     $remaining(\tau) \leftarrow remaining(\tau) - 1$ 
46.  end if
47.  if  $remaining(\tau) = 0$  then
48.     $Ready_{high} = Ready_{high} \cup \{succ(\tau) | \tau_p \in pred(succ(\tau)), remaining(\tau_p) = 0\}$ 
49.     $Running_{high} \leftarrow Running_{high} - \{\tau\}$ 
50.     $Idle_{high} \leftarrow Idle_{high} \cup \{c | table^{high}[t, c] = \tau\}$ 
51.  end if
52.  if not VerifySafeTransition( $\tau, t$ ) then
53.     $c' \leftarrow (c | table^{high}[t, c] = \tau)$ 
54.     $t' \geq t : table^{high}[t', c'] \leftarrow \emptyset$ 
55.     $Running_{high} \leftarrow Running_{high} - \{\tau\}$ 
56.     $Ready_{high} \leftarrow Ready_{high} \cup \{\tau\}$ 
57.     $Idle_{high} \leftarrow Idle_{high} \cup \{c'\}$ 
58.  end if
59. end if
60. end for
61. for all  $G_i \in \Gamma$  do
62.  if  $(t+1) mode T_i = 0$  then
63.     $\forall r_j \in V_i : remaining(r_j) \leftarrow C_j(High)$ 
64.     $Ready_{high} = Ready_{high} \cup \{r_j \in V_i | pred(r_j) = \emptyset\}$ 
65.  end if
66. end for
67. end for
68. return  $table^{high}$ 

```

شده است. همان‌طور که در شکل (۱۲) مشخص است فراوانی قبضه در الگوریتم ارائه شده در این پژوهش در برابر فراوانی قبضه در الگوریتم قبضه‌ای بسیار ناچیز است.



شکل (۱۲): مقایسه فراوانی قبضه دو الگوریتم با تنظیمات ND=2, NT=10, e=20%, m=4, CF=PF=0

۶- نتیجه

در این پژوهش، زمان‌بندی وظایف وابسته و متناوب در سامانه‌های بحرانی-مختلط با معماری چندهسته‌ای مورد بررسی قرار گرفت. در سایر پژوهش‌های انجام شده در این حوزه، به نکاتی چون کاهش قبضه‌ها و تاثیر هزینه قبضه و ارتباط در زمان‌بندی توجه نشده بود و در این پژوهش درکنار حل مساله زمان‌بندی، این نکات نیز در نظر گرفته شدند. الگوریتم زمان‌بندی با پذیرش انجام قبضه در مواقع ضروری، به صورت قبضه‌ای محدود ارائه گردید. زمان‌بندی به روش استاتیک و دارای خروجی جداول زمان‌بندی در حالت با بحرانیت پایین و بالا است. الگوریتم ارائه شده از لحاظ تاثیر تنظیمات مختلف در نرخ زمان‌بندپذیری مورد آزمایش قرار گرفت. افزایش تعداد وظایف، تعداد DAG‌ها، تعداد هسته‌ها، CF، PF، تعداد یال‌ها و بهره‌برداری سامانه موجب کاهش نرخ زمان‌بندپذیری می‌شود. هم‌چنین این الگوریتم در مقایسه با الگوریتم قبضه‌ای بدون آن‌که تغییر محسوسی در نرخ زمان‌بندپذیری نشان دهد تعداد قبضه‌ها را به صورت چشمگیری کاهش داد.

در راستای تکمیل مطالب این پژوهش می‌توان در پژوهش‌های آتی به مسائلی چون افزایش QoS^۱ وظایف با سطح بحرانیت پایین در حالت با بحرانیت بالای سامانه یا اعمال هزینه انتقال از حالت با بحرانیت پایین به حالت با بحرانیت بالای سامانه پرداخت.

^۱ Quality of Service

- Acyclic Graphs on Multi-Core Processors," *IEEE Transactions on Computers*, 2020.
- [16] S. Baruah *et al.*, "Scheduling real-time mixed-criticality jobs," *IEEE Transactions on Computers*, vol. 61, no. 8, pp. 1140-1152, 2011.
- [17] H. Li and S. Baruah, "Outstanding paper award: Global mixed-criticality scheduling on multiprocessors," in *2012 24th Euromicro Conference on Real-Time Systems*, 2012: IEEE, pp. 166-175.
- [18] H.-E. Zahaf, G. Lipari, and S. Niar, "Preemption-Aware Allocation, Deadline Assignment for Conditional DAGs on Partitioned EDF," in *2020 IEEE 26th International Conference on Embedded and Real-Time Computing Systems and Applications (RTCSA)*, 2020: IEEE, pp. 1-10.
- [19] S. Siebert and J. Teizer, "Mobile 3D mapping for surveying earthwork projects using an Unmanned Aerial Vehicle (UAV) system," *Automation in construction*, vol. 41, pp. 1-14, 2014.
- [20] S. Bharathi, A. Chervenak, E. Deelman, G. Mehta, M.-H. Su, and K. Vahi, "Characterization of scientific workflows," in *2008 third workshop on workflows in support of large-scale science*, 2008: IEEE, pp. 1-10.
- [21] D. Cordeiro, G. Mounié, S. Perarnau, D. Trystram, J.-M. Vincent, and F. Wagner, "Random graph generation for scheduling simulations," in *3rd International ICST Conference on Simulation Tools and Techniques (SIMUTools 2010)*, 2010: ICST, p. 10.
- [22] E. Bini and G. C. Buttazzo, "Measuring the performance of schedulability tests," *Real-Time Systems*, vol. 30, no. 1-2, pp. 129-154, 2005.
- [23] R. I. Davis and A. Burns. "Priority assignment for
- [1] S. Vestal, "Preemptive scheduling of multi-criticality systems with varying degrees of execution time assurance," in *28th IEEE international real-time systems symposium (RTSS 2007)*, 2007: IEEE, pp. 239-243.
- [2] A. Burns and R. Davis, "Mixed criticality systems-a review," *Department of Computer Science, University of York, Tech. Rep.*, pp. 1-69, 2013.
- [3] S. Baruah, "Mixed-Criticality Scheduling Theory: Scope, Promise, and Limitations," *IEEE Des. Test*, vol. 35, no. 2, pp. 31-37, 2018.
- [4] G. C. Buttazzo, *Hard real-time computing systems: predictable scheduling algorithms and applications*. Springer Science & Business Media, 2011.
- [5] S. Baruah, "Implementing mixed-criticality synchronous reactive programs upon uniprocessor platforms," *Real-Time Systems*, vol. 50, no. 3, pp. 317-341, 2014.
- [6] S. Baruah, "Semantics-preserving implementation of multirate mixed-criticality synchronous programs," in *Proceedings of the 20th International Conference on Real-Time and Network Systems*, 2012, pp. 11-19.
- [7] S. Baruah, "Implementing mixed criticality synchronous reactive systems upon multiprocessor platforms," *The University of North Carolina at Chapel Hill, Tech. Rep.*, 2013.
- [8] P. Marwedel, *Embedded System Design: Embedded Systems Foundations of Cyber-Physical Systems, and the Internet of Things*. Springer, 2017.
- [9] R. Medina, E. Borde, and L. Pautet, "Directed acyclic graph scheduling for mixed-criticality systems," in *Ada-Europe International Conference on Reliable Software Technologies*, 2017: Springer, pp. 217-232.
- [10] S. Baruah, "The federated scheduling of systems of mixed-criticality sporadic DAG tasks," in *2016 IEEE Real-Time Systems Symposium (RTSS)*, 2016: IEEE, pp. 227-236.
- [11] T. Yang, Y. Tang, X. Jiang, Q. Deng, and N. Guan, "Semi-Federated Scheduling of Mixed-Criticality System for Sporadic DAG Tasks," in *2019 IEEE 22nd International Symposium on Real-Time Distributed Computing (ISORC)*, 2019: IEEE, pp. 163-170.
- [12] R. M. Pathan, "Improving the schedulability and quality of service for federated scheduling of parallel mixed-criticality tasks on multiprocessors," in *30th Euromicro Conference on Real-Time Systems (ECRTS 2018)*, 2018: Schloss Dagstuhl-Leibniz-Zentrum fuer Informatik.
- [13] J. Li, D. Ferry, S. Ahuja, K. Agrawal, C. Gill, and C. Lu, "Mixed-criticality federated scheduling for parallel real-time tasks," *Real-time systems*, vol. 53, no. 5, pp. 760-811, 2017.
- [14] R. Medina, E. Borde, and L. Pautet, "Scheduling multi-periodic mixed-criticality dags on multi-core architectures," in *2018 IEEE Real-Time Systems Symposium (RTSS)*, 2018: IEEE, pp. 254-264.
- [15] R. Medina, E. Borde, and L. Pautet, "Generalized Mixed-Criticality Static Scheduling for Periodic Directed

